



JF-9052.-

Típico afloramiento de la facies rica en megacrtales de las granodioritas-monzogranitos biotíticos porfídicos.



JF-9053.- Afloramiento de la facies anterior en la parte alta del valle de Navalacruz.



JF-9055.- Leucogranito biotítico inhomégeno de grano fino-medio, que forma parte del conjunto migmatítico. Se puede observar un fenocristal de feldespato potásico corroído.



JF-9057.- Enclave metasedimentario desestructurado en el leucogranito de la fotografía anterior.



JF-9060.- Dobles enclaves en la granodiorita-monzogranito biotítico porfídico.



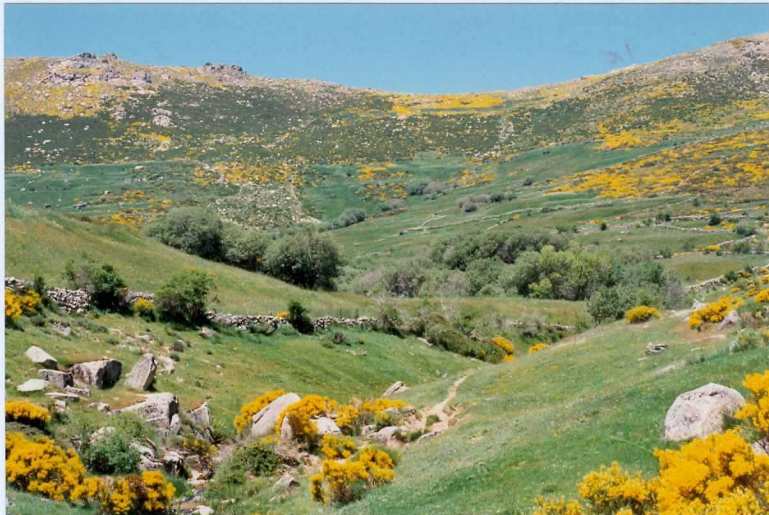
JF-9061.- Afloramiento de un dique basico.



JF-9062.- Aspecto de visu de la granodiorita-monzogranito de grano medio biotítico porfídico y cordierítico.



JF-9064.- Aspecto de los afloramientos de la granodiorita-monzogranito cordierítico y las migmatitas. En primer plano el monzogranito cordierítico, al fondo, las migmatitas.



JF-9065.- Valle estructural situado inmediatamente al Norte de Garganta del Villar. En primer término y hacia la derecha (Este) del Collado aflora en el granito de Garganta del Villar; la parte alta situada al Oeste está ocupada por el Granito de Navacedilla.



JF-9066.- Aspecto de visu del granito biotítico + moscovita de Garganta del Villar.



JF-9067.- Afloramiento de la granodiorita-monzogranito biotítico porfídico.



JF-9068.- Aspecto macroscópico de la granodiorita-monzogranito anterior.



JF-9069.- Otro aspecto macroscópico de la granodiorita-monzogranito biotítico porfídico.



JF-9070.- Inhomogeneidad pegmatoide en la granodiorita-monzogranito biotítico porfídico.



JF-9071.- Schlierens en la granodiorita-monzogranito biotítico-porfídico.



JF-9072.- Aspecto macroscópico de un dique subhorizontal rico en cordierita y enclaves restíticos, situado al Este de Serranillos.



JF-9073.- Enclaves microgranudo y granodiorita-monzogranito de fondo compartiendo un enclave metasedimentario.



JF-9074.- Enclave microgranudo que contiene un xenofenocristal de feldespato potásico redondeado, en la granodiorita-monzogranito biotítico porfídico.



JF-9075.- Enclave microgranudo que muestra evidentes signos de hibridación con la granodiorita-monzogranito de fondo.



JF-9076.- Morrena glaciar en el macizo de Serrota (PIG nº 6).



JF-9077.- Dique del granito de Garganta del Villar cortando a la granodiorita-monzogranito de fondo en las proximidades del contacto entre ambas unidades (PIG nº 3).



JF-9078.-

Schlierens en la granodiorita-monzogranito biotítico porfídico con abundantes megacristales.



JF-9080.- Aspecto macroscópico de un dique rico en cordierita y en enclaves migmatíticos, situado en las proximidades del cruce de la carretera del Puerto de Menga con la de Navalacruz.



JF-9082.- Aspecto macroscópico de la facies Puerto del Pico.



JF-9084.- Aspecto macroscópico del Leucogranito de San Martín de La Vega del Alberche.



JF-9085.- Aspecto del afloramiento de las Rocas Básicas en un sector en el que existe interacción con rocas graníticas (PIG n° 5).



JF-9086.- Zona de hibridación entre la granodiorita-monzogranito de fondo y enclaves básicos.



JF-9087.- Mismo afloramiento que JF-9086.



JF-9089.- Vista global del afloramiento de las dos últimas fotografías.



JF-9090.- Aspecto de afloramiento de las rocas migmatíticas.



JF-9091.- Aspecto de las migmatitas en un afloramiento en donde se reconoce un bandeado original.



JF-9092.- Textura en "grano de arroz" del granitoide inhomogeneo.



JF-9093.- Aspecto macroscópico de las migmatitas granitoide inhomogéneo. Se reconocen cristales centimétricos de cordierita, así como bandeados leuco y melanocráticos.



JF-9094.- Aspecto de visu de la granodiorita-monzogranito de grano medio, biotítico, porfídico y cordierítico que rodea los afloramientos de migmatitas.



JF-9095.- Aspecto de visu de la granodiorita de grano grueso biotítica (\pm cordierítica) de Hoyos del Espino.



JF-9096.- Aspecto de visu del granito del Boqueron.



JF-9098.- Epidotita desarrollada en el granito biotítico de Navadijos (Afloramiento de la Cueva del Maragato). (PIG. nº 2).



JF-9099.- Aspecto macroscópico del granito biotítico de Navadijo en la Cueva del Maragato.



JF-9101.- Afloramiento de la banda de interacción entre las rocas básicas y el monzogranito del Puerto del Pico (PIG nº 5).



JF-9102.- Detalle del afloramiento anterior.



JF-9103.- Aspecto macroscópico de los diques sieníticos.



JF-9104.- Aspecto macroscópico del granito de Garganta del Villar.